

## Regional Analysis of Suspended Sediment Estimation in Esfahan and Sirjan Watersheds

S.H.R. Sadeghi<sup>1</sup>, D.A. Najafi<sup>2</sup> and M. Vafakhah<sup>3</sup>

### Abstract

Limited number of sediment stations and recorded data, together with the inaccurate and insufficient sediment samples in flood events have doubted the river sediment load analysis especially in dry and semi-dry areas. Accordingly the regional analysis seems to be a useful tool aiming appropriate models for estimating sediment loads. In this study the model results are compared for sediment load estimation in Esfahan and Sirjan watersheds, located in central Iran and comprise 99300 Km<sup>2</sup> in area. For 14 sub-watersheds having 11 years of compatible data records the mean daily suspended sediments and 49 physiographic, hydrologic, land use, geologic and climatic characteristics were used respectively as criterion and predictor variables. The multivariable regression techniques were applied with the help of factor analysis, clustering, and discriminant analysis to access the most suitable regression models. The results revealed that two regression models developed for two homogeneous regions could acceptably model the variations. The respective maximum and mean relative error of these models were 35.19 and less than 10%, respectively, obtained from factor analysis technique and selecting one representative variable in every component. The most suitable variables for estimation of mean daily suspended sediment yield of sub-watersheds are the peak discharge with 20 years return period, rangeland percentile, and ruggedness number.

## تحلیل منطقه‌ای برآورد رسوب معلق در حوضه اصفهان و سیرجان

سید حمیدرضا صادقی<sup>۱</sup>، در علی نجفی<sup>۲</sup> و محمدی وفاخواه<sup>۳</sup>

### چکیده

تعداد کم ایستگاه‌های رسوب سنجی و محدودیت تعداد سال‌های دارای آمار و همچنین تعداد کم نمونه برداری‌ها در واقعیت سیلابی بویژه در مناطق خشک و نیمه خشک کشور، تجزیه و تحلیل بار رسوب رودخانه‌ها را با مشکل مواجه کرده است. از این رو استفاده از ابزارهای تحلیل منطقه‌ای جهت دستیابی به مدل‌های مناسب برآورد بار رسوبی ضروری به نظر می‌رسد. با هدف دستیابی به چنین مدل‌هایی، این مطالعه در حوضه اصفهان و سیرجان واقع در منطقه مرکزی ایران با وسعت حدود ۹۹۳۰۰ کیلومتر مربع انجام شده است. در این تحقیق میانگین تولید رسوب روزانه زیرحوضه‌ها به عنوان متغیر وابسته و ۳۹ ویژگی فیزیوگرافی، هیدرولوژیکی، کاربری اراضی، زمین‌شناسی و اقلیمی مربوط به ۱۴ زیرحوضه منتخب با طول دوره مشترک آماری ۱۱ سال به عنوان متغیرهای مستقل انتخاب شدند. جهت دستیابی به مناسب‌ترین شیوه تهیه مدل وایازی (رگرسیون) از روش‌های مختلف تجزیه و تحلیل چند متغیره نظری تجزیه و تحلیل عاملی، خوش‌های و تکیکی استفاده گردید. در نهایت دو مدل وایازی با حداقل و میانگین خطای تخمین به ترتیب ۳۵/۱۹ و کمتر از ۱۰ درصد مربوط به دو منطقه همگن با بکارگیری روش تجزیه و تحلیل عاملی و انتخاب یک نماینده در هر محور و با در برداشت متغیرهایی نظری دی پیک با دوره بازگشت ۲۰ سال، درصد اراضی مربعی و نمره ناهمواری به عنوان مناسب‌ترین مدل‌ها جهت برآورد میانگین تولید رسوب معلق روزانه زیرحوضه‌ها انتخاب گردید.

**کلمات کلیدی:** تجزیه و تحلیل منطقه‌ای، حوضه اصفهان و سیرجان، مدل رسوب، باتلاق گاوخونی

**Keywords:** Regional Analysis, Esfahan and Sirjan Watershed, Sediment Modeling, Gavkhuni Swamp, Iran

1- Head and Associate Professor, Dept. of Watershed Management Engineering, College of Natural Resources and Marine Sciences, Tarbiat Modares Univ., Noor, Mazandaran, Iran, E-mail: [sadeghi@modares.ac.ir](mailto:sadeghi@modares.ac.ir)

2- Master of science Graduate, Dept. of Watershed Management Engineering, College of Natural Resources and Marine Sciences, Tarbiat Modares Univ., Noor, Mazandaran, Iran

3- Lecturer, Dept. of Watershed Management Engineering, College of Natural Resources and Marine Sciences, Tarbiat Modares Univ., Noor, Mazandaran, Iran

۱- مدیر و دانشیار گروه مهندسی آبخیزداری، دانشکده منابع طبیعی، دانشگاه تربیت مدرس، مازندران، نور

۲- دانش‌آموخته گروه مهندسی آبخیزداری، دانشکده منابع طبیعی، دانشگاه تربیت مدرس، مازندران، نور

۳- مری گروه مهندسی آبخیزداری، دانشکده منابع طبیعی، دانشگاه تربیت مدرس، مازندران، نور

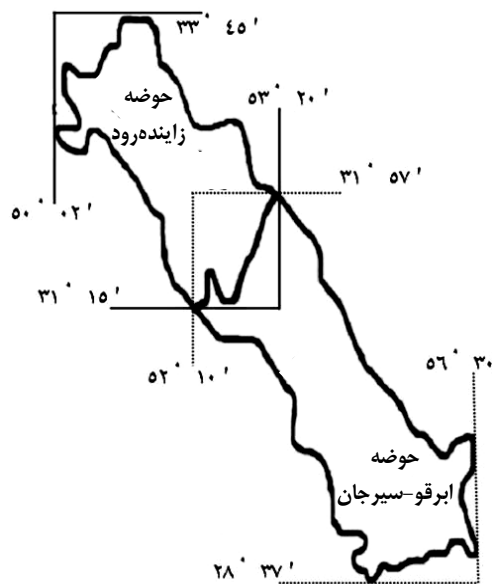
## ۱- مقدمه

: Rey, 2003 ; Mahmoudzadeh, 1996 ; Arnold et al., 1987  
 : Bini et al., 2006 ; Walling, 2006  
 کریم خانی، ۱۳۷۶ و صادقی و همکاران، ۱۳۸۴ (الف) و متغیرهای  
 اقلیمی و هیدرولوژیکی (Linsley and Franzini, 1979)  
 : Walling, 2006 ; Narayana, 2002 ; Hallsworth, 1987  
 Restrepo et al., 2006 : عرب خدری و زرگر، ۱۳۷۴  
 حکیم خانی، ۱۳۷۷؛ اسماعیلی و مهدوی، ۱۳۸۱ و تلویری، ۱۳۸۱  
 (۱۳۸۱) مقدار انتقال رسوب معلق زیر حوضه‌ها را کنترل می‌کند.

در تحقیق حاضر سعی بر آن است تا ضمن لحاظ کلیه متغیرهای مستقل استفاده شده در سوابق تحقیقاتی، تعداد دیگری از متغیرهای مستقل مد نظر قرار گرفته و سپس تلاش‌هایی در راستای تهیه مدل برآورد تولید رسوب معلق در حوضه اصفهان و سیرجان بعمل آمده تا ضمن معرفی و شناسایی عوامل مهم، اهمیت هر یک از آنها در تولید رسوب منطقه مورد مطالعه تعیین گردد.

## ۲- مواد و روش‌ها

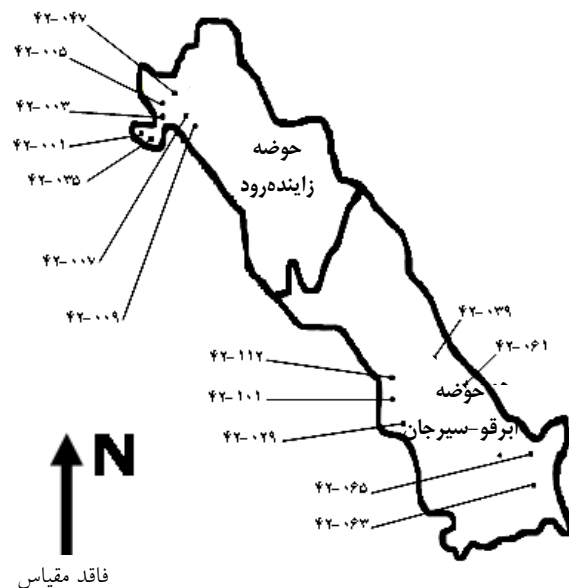
**۱-۲- مشخصات و موقعیت منطقه مورد مطالعه**  
 حوضه اصفهان و سیرجان یا حوضه باتلاق گاوخونی و کویر سیرجان، از جمله زیر حوضه‌های بزرگ مرکزی ایران است. مساحت این حوضه ۹۹۳۰ کیلومترمربع و خود به دو زیر حوضه اصلی زاینده‌رود و ابرقو- سیرجان با وسعت‌های به ترتیب ۴۱۵۲۱ و ۵۷۷۷۹ کیلومترمربع تقسیم می‌شود (وزارت نیرو، ۱۳۶۸ الف و ب). مختصات جغرافیایی این دو زیر حوضه در شکل ۱ نشان داده شده است.



شکل ۱- مختصات جغرافیایی و ایستگاه‌های رسوب سنجی منتخب در حوضه اصفهان و سیرجان

هر ساله مقدار زیادی خاک از سطح حوضه‌های کشور توسط عوامل مختلف خصوصاً آب و باد فرسایش و به محل دیگر انتقال یافته و ضمن محدودسازی منابع آب و خاک، مشکلات اقتصادی و اجتماعی زیادی را پدید می‌آورد. از طرفی تجهیز کلیه حوضه‌ها به وسائل اندازه‌گیری و برداشت نمونه‌های مکرر و مرتب نه تنها از نظر عملی ممکن نیست بلکه مستلزم صرف هزینه و زمان بسیار زیاد می‌باشد. بدین منظور یافتن روش‌هایی برای برآورد علمی و دقیق تولید رسوب در حوضه‌های کشور به منظور کنترل این فرآیند امری ضروری است. روش‌های تجزیه و تحلیل منطقه‌ای به واسطه امکان تهیه مدل‌های مناسب برآورد رسوب معلق و شناسایی عوامل دخیل در رسوب‌زایی زیر حوضه‌های فاقد ایستگاه اندازه‌گیری (تلوری، ۱۳۸۱) می‌توانند در این زمینه مؤثر باشند.

برای برآورد رسوب معلق زیر حوضه‌ها و نیز تعیین عوامل مؤثر در آن روابط زیادی توسط محققین مختلف ارائه شده است. چنانکه در روابط و مطالعات مختلف عوامل گوناگونی نظیر خاک و زمین‌شناسی زیر حوضه‌ها (Linsley and Franzini, 1979)؛ حکیم خانی، ۱۳۷۷؛ Rashidi, 1997؛ Mahmoudzadeh, 1996 قدیمی عروس محله و سبحانی، ۱۳۷۸؛ وروانی، ۱۳۸۰ و تلویری، ۱۳۸۱، عوامل فیزیوگرافی (Linsley and Franzini, 1979)؛ عرب خدری و Restrepo et al. 2006؛ Chen et al., 2006؛ عرب خدری و زرگر، ۱۳۷۴؛ مهرسرشت، ۱۳۷۵؛ قدیمی عروس محله و سبحانی، ۱۳۷۸؛ قواتی، ۱۳۷۸؛ دادرسی، ۱۳۷۹ و عرب خدری، ۱۳۸۲)، عامل کاربری اراضی و پوشش گیاهی (Linsley and Franzini, 1979)



بهمن، دبی متوسط ۴ ماهه اسفند تا خرداد و دبی متوسط سالانه) وزارت نیرو، ۱۳۷۷)، کاربری اراضی (درصد اراضی جنگلی، مرتعی، کشاورزی و سایر کاربری‌ها) وزارت جهاد سازندگی، ۱۳۷۵ و وزارت کشاورزی، ۱۳۷۶، و زمین شناسی (نموده حساسیت به فرسایش) (فیض نیا، ۱۳۷۴) به عنوان متغیرهای مستقل در تهیه مدل استفاده شدند. همچنین از آنجایی که تفکیک یا تشخیص نقش جزئی برخی از شرایط خاص حاکم بر هر حوضه (برای مثال وجود سد در بالادست ایستگاه پل زمانخان، ۱۳۷۰-۹) امکان پذیر نبوده لذا خصوصیات آن‌ها با توجه به شرایط فعلی حاکم صورت گرفته است. طبعاً در صورت وجود هر گونه تاثیر احتمالی بر فرآیند مدل‌سازی، امکان جداسازی و تحلیل تفاوت‌های احتمالی در روند بررسی از طریق کاربرد روش‌های تحلیل مورد استفاده در این تحقیق وجود خواهد داشت.

### - آماده سازی داده‌ها

پالایش و آماده‌سازی داده‌ها از طریق تکمیل نواقص آماری داده‌های رسوب، دبی روزانه، دبی اوج و بارندگی با استفاده از روش‌های میانگین‌گیری و استفاده از اطلاعات ایستگاه‌های معرف اقدام شد و در برخی موارد با ترسیم نمودار پراکنش اقدام به حذف داده‌های پرت گردید. در این قسمت همچنین مباردت به تهیه منحنی‌های سنتجه رسوب<sup>۱</sup> گردید. تهیه معادلات سنتجه رسوب برای دوره‌های مختلف و همچنین طبقه‌بندی دبی آب (میزانی و همکاران، ۱۳۸۴) به شکل ۱۳۷۹ کلی رابطه توانی و با استفاده از نرم‌افزار ROSOOB (وفاوه، ۱۳۷۹) و ۱۳۸۱) صورت گرفته است. سپس بهترین روابط انتخاب و برای محاسبه دبی بلند مدت رسوب روزانه و همچنین رسوب ویژه سالیانه هر یک از ایستگاه‌ها استفاده شد. نرم افزار مذبور بر اساس برآشش بهترین معادله ویازی<sup>۲</sup> بین داده‌های دبی آب و رسوب استوار بوده و سپس میزان رسوب کل را با توجه به منحنی تداوم جریان و احتمالات مربوط به هر دبی و در نتیجه رسوب تولیدی از آن محاسبه می‌نماید.

### - ۳-۲- تهیه، ارزیابی و انتخاب مدل

به منظور تهیه مدل ریاضی منطقه‌ای برآورد رسوب در منطقه مورد مطالعه از ویازی چند متغیره<sup>۳</sup> و مفاهیم حاکم بر آن استفاده شد. برای استفاده از داده‌های بدست آمده برای مراحل بعدی تهیه مدل، نرمال بودن مقادیر رسوب بدست آمده مورد ارزیابی قرار گرفت. برای انجام آزمون نرمال بودن داده‌های مستقل و وابسته از آزمون کلموگراف-اسمیرنف<sup>۴</sup> استفاده گردید (شرکت آمار پردازان، ۱۳۷۷ و فتوحی اردکانی، ۱۳۸۱).

حوضه زاینده‌رود دارای اقلیم فراخشک تا بسیار مرتبط می‌باشد. میانگین بارندگی سالانه از ۵۰ میلی‌متر در مناطق کویری تا ۱۴۰۰ میلی‌متر در ارتفاعات متغیر است. حوضه ابرقو- سیرجان دارای اقلیمی با ویژگی بارندگی کم، دامنه نوسان حرارتی کم و بیش زیاد و خشکی می‌باشد. بارندگی حوضه در بخش وسیعی از آن ناچیز، در حاشیه شمالی و جنوبی حوضه ۳۰۰ و در بخش کوچکی از شرق و جنوب شرق آن ۵۰۰ میلی‌متر است (وزارت نیرو، ۱۳۶۸ الف و ب).

### - ۲- روش تحقیق

در راستای تهیه مدل منطقه‌ای برآورد رسوب معلق در حوضه اصفهان و سیرجان مراحل زیر انجام گردید:

### - تعیین ایستگاه‌های آب‌سنجدی

ابتدا اطلاعات مربوط به ایستگاه‌های آب‌سنجدی و رسوب‌سنجدی در کل حوضه جمع‌آوری و پس از ترسیم بارگراف دوره آماری رسوب، دبی روزانه، دبی حداکثر لحظه‌ای و بارندگی سالیانه آنها و همچنین کنترل نسبی کفایت اطلاعات با استفاده از آزمون Hurst (کارآموز و عراقی‌نژاد، ۱۳۸۴)، تعداد ۱۴ ایستگاه با دوره آماری مشترک ۱۱ سال (۱۳۷۰ تا ۱۳۸۰) انتخاب شدند. موقعیت کلی ایستگاه‌های منتخب در شکل ۱ نشان داده شده است.

### - جمع آوری اطلاعات و ویژگی‌ها

در این مرحله کلیه نقشه‌های مورد نیاز شامل نقشه‌های توپوگرافی، شبکه آبراهه‌ای، زمین شناسی و کاربری اراضی حوضه در مقیاس ۱:۲۵۰۰۰ به همراه تصاویر ماهواره‌ای لندست ۱:۱۰۰۰۰۰ و عکس‌های هوایی ۱:۵۰۰۰۰ جمع آوری گردید. در تحقیق حاضر میانگین تولید رسوب روزانه به عنوان متغیر وابسته و خصوصیات مختلف فیزیوگرافی (ارتفاع حداقل حوضه، ارتفاع متوسط حوضه، اختلاف ارتفاع حداقل و حداکثر، ارتفاع حداکثر حوضه، زمان تمرکز به روش کالیفرنیا، زمان تمرکز به روش کریپیچ، طول حوضه، ضریب گراولیویس، درصد شیب آبراهه اصلی، طول آبراهه اصلی، درصد شیب متوسط حوضه، محیط، مساحت، درصد اراضی با جهت غربی، شرقی، جنوبی، شمالی و اراضی دشتی، تراکم زهکشی آبراهه درجه ۱، ۲، ۳، و کل آبراهه‌ها، ضریب انشعاب‌پذیری، فاصله مرکز ثقل تا خروجی، طول آبراهه اصلی به طول حوضه، نمره ناهمواری، نسبت ناهمواری، ضریب پیچان رودی، فاصله مرکز ثقل تا خروجی به طول آبراهه اصلی، فراوانی آبراهه) (فریقت، ۱۳۷۰؛ مهدوی، ۱۳۷۸ و ۲۰۰۰)، Suresh، اقلیمی (حداکثر بارندگی ۲۴ ساعته با دوره بازگشت ۲ سال، درجه حرارت متوسط سالانه، ضریب خشکی دومارتن، بارندگی متوسط وزنی سالانه) (وزارت نیرو، ۱۳۶۸، الف و ب)، هیدرولوژیکی (دبی پیک با دوره‌های بازگشت ۲، ۵، ۱۰، ۲۰، ۲۵، ۵۰ و ۱۰۰ سال)، دبی متوسط ۵ ماهه مهر تا

ضریب تبیین ( $R^2$ ) قابل قبول در سطح معنی داری ۹۵ و ۹۹ درصد، مدل های برتر با ارزیابی شاخص های خطای نسبی<sup>۷</sup> (RE)، مجدور میانگین مربعات خطای<sup>۸</sup> (RMSE)، ضریب کارایی<sup>۹</sup> ( $C_E$ ) و با استفاده از روابط ذیل انتخاب شدند(نجفی، ۱۳۸۲):

$$RE = \left| \frac{Y_e - Y_o}{Y_o} \right| \quad (1)$$

$$RMSE = \sqrt{\frac{\sum_{i=1}^n (Y_o - Y_e)^2}{n}} \quad (2)$$

$$C_E = \frac{\frac{1}{n} \sum_{i=1}^n (Y_o - \bar{Y}_o)^2 - \frac{1}{n} \sum_{i=1}^n (Y_o - Y_e)^2}{\frac{1}{n} \sum_{i=1}^n (Y_o - \bar{Y}_o)^2} \quad (3)$$

که در آنها  $Y_o$  مقادیر مشاهده ای میانگین رسوب معلق روزانه بر حسب تن در روز،  $Y_e$  مقادیر برآورده میانگین رسوب معلق روزانه بر حسب تن در روز و  $n$  تعداد داده ها می باشد.

محاسبات مربوط به خطای تخمین و نیز خطای تأیید مدل ها با استفاده از معیارهای فوق انجام و مناسب ترین مدل برای مناطق همگن و یا برای کل زیر حوضه ها انتخاب گردید. خطای تأیید هر مدل با به کارگیری داده های وابسته و مستقل مربوط به هر زیر حوضه برای دوره زمانی غیر از سال های مشترک آماری محاسبه گردید. حتی الامکان سعی شده است که از داده های مربوط به یک دوره مشترک برای زیر حوضه های مربوط استفاده شده و نیز شرایط اقلیمی، کاربری اراضی و هیدرولوژیکی زیر حوضه ها تزدیک به شرایط موجود در دوره مشترک آماری باشد. شکل ۲ مراحل اجرایی روش کار تا رسیدن به هدف اصلی یعنی بدست آوردن مدل های مناسب تخمین مقادیر رسوبات معلق در زیر حوضه های اصفهان و سیرجان را نشان می دهد.

### ۳- نتایج

کلیه داده های مورد استفاده در این تحقیق شامل ۴۹ متغیر فیزیو گرافیکی، زمین شناسی، کاربری اراضی، اقلیمی و هیدرولوژیکی به عنوان متغیر مستقل و مقادیر روزانه رسوب به عنوان متغیر وابسته برای ۱۴ ایستگاه انتخابی با طول دوره آماری مشترک ۱۱ سال می باشد. مقادیر مربوط به کلیه متغیرهای مستقل در جدول ۱ خلاصه شده است. پس از بررسی ارتباط بین مقادیر دبی و رسوب نیز معادلات سنجه رسوب برای ایستگاه های مختلف تهیه و در جدول ۲ آورده شده و همچنین نمونه ای از منحنی های سنجه رسوب به همراه

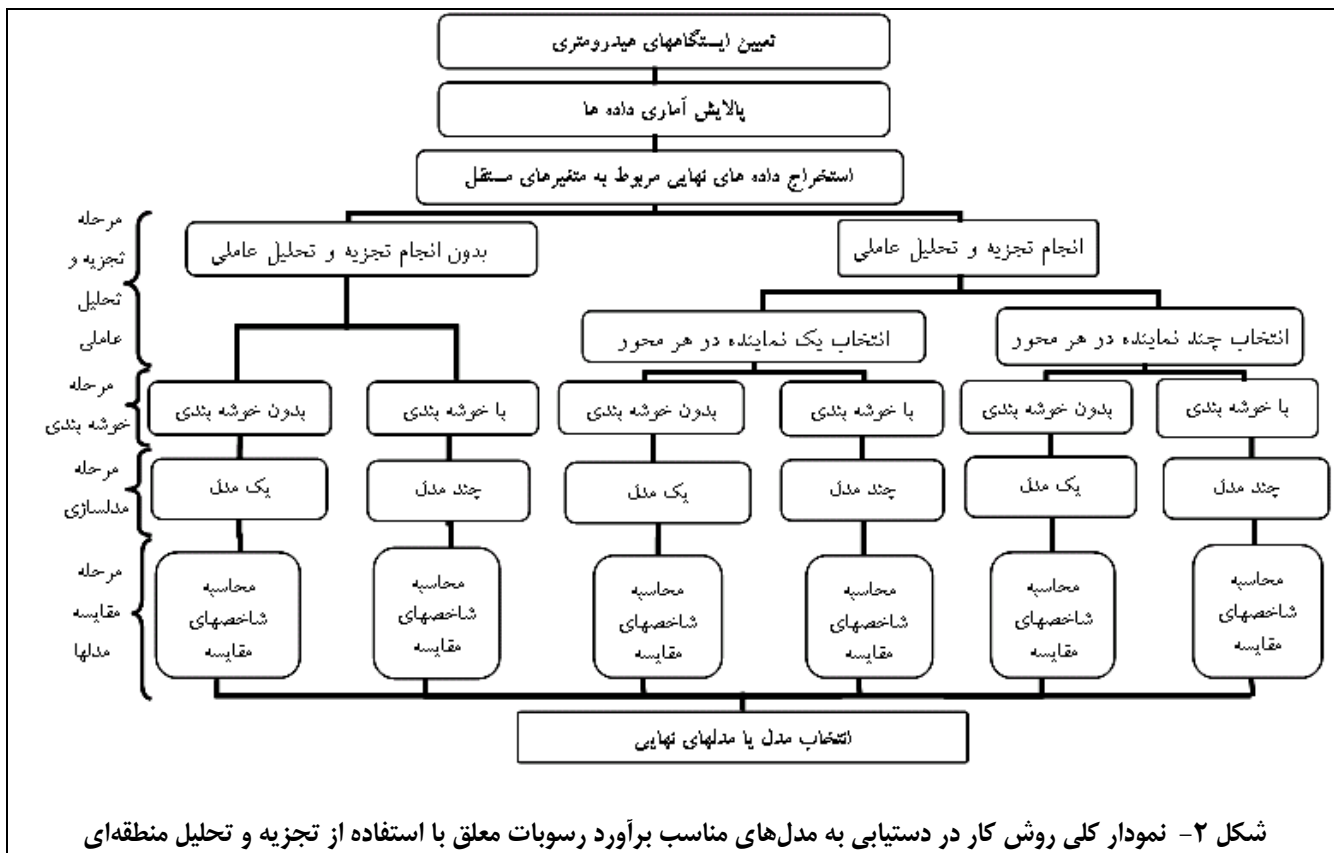
در مرحله بعدی و به منظور کاهش تعداد پارامترهای دخیل در فرآیند تهیه مدل و شناسایی عوامل اصلی مؤثر بر تولید رسوب از تجزیه و تحلیل عاملی<sup>۱۰</sup> استفاده و نرم افزار SPSS در این خصوص بکار گرفته شد (شرکت آمار پردازان، ۱۳۷۷ و فتوحی اردکانی، ۱۳۸۱). تعیین مهم ترین متغیرهای مستقل به دو روش شامل انتخاب یک نماینده در هر محور و انتخاب چند نماینده در هر محور انجام پذیرفت. همچنین به منظور شناسایی مناطق همگن و ضرورت استفاده از آنها در تهیه مدل از تجزیه و تحلیل خوش ای استفاده شد. از آنجایی که نرمال بودن داده ها به منظور استاندارد نمودن آنها در استفاده از تجزیه و تحلیل خوش ای ضروری بوده لذا نرمال بودن داده ها کنترل و در صورت لزوم با استفاده از روش های موجود (Wheater and Cook, 2000) خوش ای انتخابی اختیاری است ( مقدم و همکاران، ۱۳۷۳)، بنابراین با توجه به شناخت زیر حوضه ها و ناحیه مطالعاتی و بررسی ویژگی های آنها نسبت به انتخاب بهترین روش خوش بندی انجام شده توسط نرم افزار اقدام گردید. در مطالعه حاضر و با توجه به نمودار ارائه شده در شکل ۲، در سه مسیر (بدون انجام تجزیه و تحلیل عاملی، انجام تجزیه و تحلیل عاملی و انتخاب یک و چند نماینده) و با روش های مختلف (نظیر بین گروهی، درون گروهی و نزدیک ترین و دورترین همسایه) خوش بندی انجام شده است. در انتخاب یک یا چند نماینده در هر محور به ترتیب یک یا چند متغیر مستقل با حداکثر قدرت تبیین تغییرات متغیر وابسته انتخاب شدند. طبعاً در صورت عدم خوش بندی و یا ایجاد چند گروه همگن نیز به ترتیب یک و یا چند مدل تهیه گردید. در تحقیق حاضر بعد از خوش بندی زیر حوضه ها و تعیین مناطق همگن، به منظور تأیید گروه بندی انجام شده در مرحله خوش بندی و تعیین مهم ترین عوامل ممیزه گروه ها از تحلیل تشخیص یا تجزیه و تحلیل تفکیکی استفاده شد. برای انجام تجزیه و تحلیل تفکیکی از روش قدم به قدم (فتیحی اردکانی، ۱۳۸۰ و زرگر، ۱۳۸۱) استفاده گردید.

در ادامه، اقدام به انجام وایازی چند متغیره با استفاده از کلیه روش های موجود شامل پیشرو، پسرو، حذفی، ورود تمام متغیرها و روش قدم به قدم (فتیحی اردکانی، ۱۳۸۱) گردید. در این مرحله داده های میانگین رسوب معلق روزانه به عنوان متغیر وابسته و داده های فیزیو گرافی، زمین شناسی، کاربری اراضی، اقلیمی و هیدرولوژیکی به عنوان متغیرهای مستقل وارد محاسبات مربوط به وایازی چند گانه گردید.

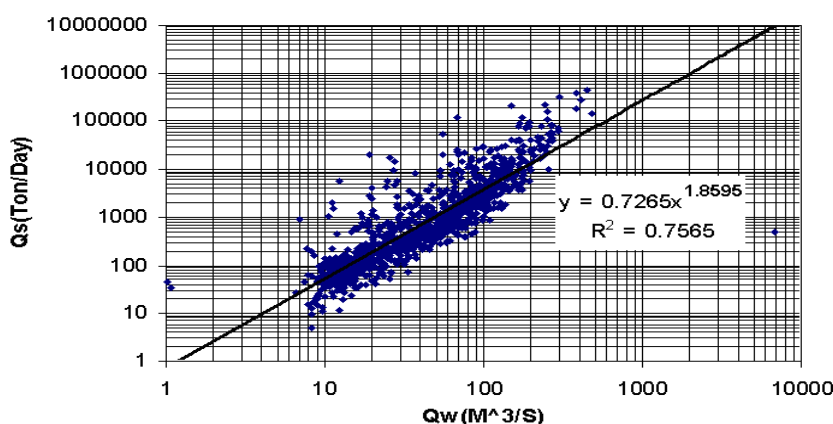
از آنجایی که مدل های برآورد فرسایش خاک و تولید رسوب تقریباً همیشه دارای خطای می باشند (Nearing, 1998)، بنابراین بعد از انجام وایازی چند متغیره و ساخت معادله وایازی مناسب با توجه به تحقیقات منابع آب ایران، سال دوم، شماره ۳، زمستان ۱۳۸۵ تحقیقات منابع آب ایران، سال دوم، شماره ۳، زمستان ۲۰۰۷ (IR-WRR)

است. پس از انجام مراحل ذکر شده، مدل‌های منتج از انجام واپاژی چند متغیره حاصل و نتایج مربوطه در جدول ۶ خلاصه شده است. جدول ۷ نیز نتایج مربوط به ارزیابی کارایی مدل‌های مختلف بدست آمده با استفاده از شاخص‌های مختلف را نشان می‌دهد.

معادله مربوطه در شکل ۳ ارائه شده است. با توجه به روش کار ارائه شده نرمال بودن کلیه داده‌ها کنترل و توزیع نرمال آنها تأیید گردید. در ادامه انجام روش کار تجزیه و تحلیل عاملی و تجزیه و تحلیل خوشه‌ای انجام و نتایج آنها به ترتیب در جداول ۳ تا ۵ ارائه شده



شکل ۲- نمودار کلی روش کار در دستیابی به مدل‌های مناسب برآورد رسوبات معلق با استفاده از تجزیه و تحلیل منطقه‌ای



شکل ۳- منحنی سنجه رسوب ایستگاه قلعه شاهرخ

جدول ۱ - متغیرهای مستقل زیروحصه‌های منتخب

کد ایستگاه	متغیر	متغیرهای فیزیوگرافی														
		فرزند گرایشی زمین	طول جهنده (Km)	فرزند آبراهه زمین	فرزند آبراهه زمین	فرزند آبراهه زمین	فرزند آبراهه زمین	فرزند آبراهه زمین	جهت شیب (%)					متوسط جهت شیب (%)	متوسط جهت شیب (Km)	مساحت (Km <sup>2</sup> )
									شمال	جنوب	شرق	غرب	جنوب			
۰/۹۷۱	۴۲-۰۰۱	۲۷/۰۰۰	-۰/۰۱۸	۱/۴۱۵	۳/۵۰۰	۵۵/۰۰۰	۴۴/۹۹۷	-۰/۰۰۱	-۰/۰۰۱	-۰/۰۰۱	۵۶/۳۰۰	۷۲/۲۵۰	۴۳۰/۰	۴۲-۰۰۱	۴۲-۰۰۱	
۱/۱۶۷	۴۲-۰۰۳	۵۳/۰۰۰	-۰/۰۲۶	۲/۹۵۹	۷/۲۸۰	۳۱/۰۰۵	۴۵/۸۰۰	۹/۳۸۷	۱۰/۳۳۶	۳/۰۰۰	۳۷/۹۰۰	۱۸۱/۲۵۰	۱۹۱۷/۵	۴۲-۰۰۳	۴۲-۰۰۳	
۰/۹۹۹	۴۲-۰۰۵	۳۴/۵۰۰	-۰/۰۱۵	۳/۷۰۴	۳/۹۵۰	۴۱/۴۰۰	۳۰/۲۰۰	-۰/۰۰۱	۱۶/۳۰۰	۱۲/۰۰۰	۲۷/۹۰۰	۱۴۱/۷۵۰	۱۶۰۰/۰	۴۲-۰۰۵	۴۲-۰۰۵	
۱/۳۷۰	۴۲-۰۰۷	۸۳/۷۵۰	-۰/۰۲۴	۴/۷۶۳	۱۰/۱۸۰	۳۴/۵۰۰	۳۹/۲۰۰	۵/۰۰۰	۸/۷۶۰	۱۱/۰۰۰	۲۹/۳۰۰	۳۴۵/۲۵۰	۵۰۵۰/۰	۴۲-۰۰۷	۴۲-۰۰۷	
۱/۱۳۸	۴۲-۰۰۹	۹۳/۷۵۰	-۰/۰۲۲	۵/۱۳۲	۱۴/۱۰۰	۳۱/۶۰۰	۳۵/۸۰۰	۸/۶۴۰	۱۳/۱۰۰	۱۰/۰۰۰	۲۸/۸۰۰	۳۶۰/۲۵۰	۵۷۶۶/۰	۴۲-۰۰۹	۴۲-۰۰۹	
۱/۰۶۰	۴۲-۰۲۹	۶/۵۰۰	-۰/۰۰۷	۲/۹۹۱	-۰/۸۴۰	-۰/۰۰۱	-۰/۰۰۱	۲۴/۰۰۰	۴۸/۰۰۰	۱۸/۰۰۰	۱۰/۴۰۰	۱۲۰/۰۰۰	۱۰۱۱/۵	۴۲-۰۲۹	۴۲-۰۲۹	
۰/۷۱۰	۴۲-۰۳۵	۹/۲۵۰	-۰/۰۹۴	۰/۶۱۱	-۰/۷۸۰	۵۵/۰۰۰	۴۴/۹۹۷	-۰/۰۰۱	-۰/۰۰۱	-۰/۰۰۱	۴۹/۰۰۰	۱۴/۲۵۰	۳۲/۰	۴۲-۰۳۵	۴۲-۰۳۵	
۱/۲۴۵	۴۲-۰۳۹	۱۱/۷۵۰	-۰/۱۰۵	۱/۱۵۷	۱/۴۴۰	۶۱/۰۰۰	۲۷/۰۰۰	-۰/۰۰۱	-۰/۰۰۱	۱۲/۰۰۰	۱۴/۷۰۰	۳۰/۰۰۰	۴۷/۷	۴۲-۰۳۹	۴۲-۰۳۹	
۱/۳۱۳	۴۲-۰۴۷	۱۹/۵۰۰	-۰/۰۴۵	۱/۲۲۲	۱/۳۶۰	۲۵/۰۰۰	۵۹/۰۰۰	-۰/۰۰۱	-۰/۰۰۱	۱۶/۰۰۰	۲۵/۶۰۰	۴۹/۲۵۰	۱۱۱/۹	۴۲-۰۴۷	۴۲-۰۴۷	
۱/۳۲۶	۴۲-۰۶۱	۱۲/۵۰۰	-۰/۰۸۶	۱/۲۸۴	-۰/۹۹۰	-۰/۰۰۱	۳۰/۰۰۰	۳۰/۰۰۰	۳۰/۰۰۰	۱۰/۰۰۰	۱۷/۱۰۰	۳۲/۰۰۰	۴۶/۳	۴۲-۰۶۱	۴۲-۰۶۱	
۰/۴۸۳	۴۲-۰۶۳	۷/۲۵۰	-۰/۰۳۳	۰/۵۹۷	-۰/۷۵۰	-۰/۰۰۱	۲۴/۰۰۰	۳۲/۰۰۰	۲۴/۰۰۰	۲۰/۰۰۰	۱۶/۴۰۰	۱۸/۷۵۰	۱۲۰/۰	۴۲-۰۶۳	۴۲-۰۶۳	
۱/۲۸۴	۴۲-۰۶۵	۳۴/۲۵۰	-۰/۰۳۳	۲/۰۳۲	۲/۷۸۰	-۰/۰۰۱	۲۸/۰۰۰	۲۱/۰۰۰	۲۱/۰۰۰	۲۹/۹۹۹	۹/۶۰۰	۶۶/۰۰۰	۲۱۰/۲	۴۲-۰۶۵	۴۲-۰۶۵	
۱/۲۱۳	۴۲-۱۰۱	۵/۲۵۰	-۰/۰۳۲۹	-۰/۴۰۱	-۰/۰۵۰	۴۷/۵۰۰	۴۷/۵۰۰	-۰/۰۰۱	-۰/۰۰۱	۴۹/۰۰۰	۱۶/۴۰۰	۱۳/۰۰۰	۹/۱	۴۲-۱۰۱	۴۲-۱۰۱	
۱/۲۰۱	۴۲-۱۱۲	۷/۰۰۰	-۰/۱۳۳	-۰/۶۴۲	-۰/۶۶۰	-۰/۰۰۱	۳۲/۰۰۰	۳۱/۵۰۰	۳۱/۵۰۰	۵/۰۰۰	۲۴/۳۰۰	۲۰/۲۵۰	۲۲/۶	۴۲-۱۱۲	۴۲-۱۱۲	

ادامه جدول ۱ - متغیرهای مستقل زیروحصه‌های منتخب

کد ایستگاه	متغیر	متغیرهای فیزیوگرافی													
		فرانسه وزیر مکانیک حوضه نما	فرانسه وزیر مکانیک حوضه نما	فرانسه وزیر مکانیک حوضه نما	نامهاری	نامهاری	ضریب پیچیدگی	طول آبراهه اصلی	طول جهنده اصلی	ضد آبراهه اصلی	طول جهنده اصلی	طول آبراهه اصلی	متوسط جهت شیب (%)	متوسط جهت شیب (Km)	مساحت (Km <sup>2</sup> )
کد ایستگاه	متغیر	فرانسه وزیر مکانیک حوضه نما	فرانسه وزیر مکانیک حوضه نما	فرانسه وزیر مکانیک حوضه نما	نامهاری	نامهاری	فرانسه وزیر مکانیک حوضه نما								
۱۲/۵۰۰	۴۲-۰۰۱	-۰/۳۸۲	۱۲۶/۰۰۰	۴۶/۶۰۲	۱/۳۱۰	۱/۲۱۳	۲/۲۵۰	-۰/۱۰۵	-۰/۰۳۹	-۰/۰۳۹	-۰/۰۲۷	۳۲/۷۵۰	۳۷/۹	۴۲-۰۰۱	۴۲-۰۰۱
۲۳/۷۵۰	۴۲-۰۰۳	-۰/۳۵۷	۲۵۳/۵۰۰	۲۷/۹۰۷	۱/۳۱۰	۱/۲۵۵	۷/۸۵۰	-۰/۱۶۹	-۰/۰۸۷	-۰/۰۵۸	-۰/۰۲۴	۶۶/۵۰۰	۲۳/۰	۴۲-۰۰۳	۴۲-۰۰۳
۱۷/۲۵۰	۴۲-۰۰۵	-۰/۴۱۶	۱۹۰/۹۹۵	۱۰۲/۰۰۰	۲/۰۷۵	۱/۲۰۳	۴/۳۸۰	-۰/۱۰۷	-۰/۰۶۴	-۰/۰۳۳	-۰/۰۱۰	۴۱/۵۰۰	۵/۰	۴۲-۰۰۵	۴۲-۰۰۵
۳۸/۷۵۰	۴۲-۰۰۷	-۰/۳۷۹	۳۱۵/۷۰۰	۵۱/۲۳۳	۱/۲۵۱	۱/۲۲۱	۴/۴۵۰	-۰/۱۶۴	-۰/۰۹۷	-۰/۰۴۴	-۰/۰۲۳	۱۰۲/۲۵۰	۱۵/۸	۴۲-۰۰۷	۴۲-۰۰۷
۴۶/۲۵۰	۴۲-۰۰۹	-۰/۳۵۴	۳۲۳/۵۶۵	۴۰/۷۰۰	۱/۴۲۶	۱/۳۹۲	۴/۰۷۰	-۰/۱۵۹	-۰/۰۹۳	-۰/۰۴۱	-۰/۰۲۵	۱۳۰/۵۰۰	۲۱/۲	۴۲-۰۰۹	۴۲-۰۰۹
۱۴/۰۰۰	۴۲-۰۲۹	۲/۰۵۹	۵/۲۰۸	۱۳/۵۶۳	۱/۱۶۷	۱/۰۹۴	۲/۰۰۰	-۰/۰۱۲	-۰/۰۰۶	-۰/۰۰۵	-۰/۰۰۲	۳۵/۰۰۰	۶/۲	۴۲-۰۲۹	۴۲-۰۲۹
۲/۵۰۰	۴۲-۰۳۵	-۰/۲۷۰	۲۸۴/۸۵۰	۲۷۰/۰۰۰	۳/۰۸۳	۱/۰۰۰	۲/۰۰۰	-۰/۲۱۱	-۰/۱۴۸	-۰/۰۶۳	-۰/۰۰۱	۹/۲۵۰	۲۶/۸	۴۲-۰۳۵	۴۲-۰۳۵
۶/۲۵۰	۴۲-۰۳۹	-۰/۴۴۶	۶۰۷/۰۰۰	۸۰/۸۵۱	۱/۲۴۴	۱/۱۹۱	۴/۰۰۰	-۰/۶۳۹	-۰/۵۲۴	-۰/۱۱۵	-۰/۰۰۱	۱۴/۰۰۰	۱۱/۷	۴۲-۰۳۹	۴۲-۰۳۹
۱۲/۰۰۰	۴۲-۰۴۷	-۰/۷۲۷	۶۱۰/۰۹۰	۹۲/۵۶۴	۱/۱۷۹	-۰/۸۴۶	۴/۰۰۰	-۰/۳۳۸	-۰/۲۳۷	-۰/۱۰۱	-۰/۰۰۱	۱۶/۵۰۰	۱۴/۱	۴۲-۰۴۷	۴۲-۰۴۷
۶/۷۵۰	۴۲-۰۶۱	-۰/۵۲۹	۳۹۵/۶۶۶	۸۷/۴۴۰	۱/۰۶۳	۱/۰۲۰	۳/۰۰۰	-۰/۳۶۲	-۰/۲۰۵	-۰/۱۵۷	-۰/۰۰۱	۱۲/۷۵۰	۷/۴	۴۲-۰۶۱	۴۲-۰۶۱
۴/۰۰۰	۴۲-۰۷۱	-۰/۵۷۱	۶۲/۴۰۰	۸۶/۶۶۷	۱/۱۶۷	-۰/۹۶۶	۳/۰۰۰	-۰/۰۹۶	-۰/۰۶۳	-۰/۰۳۳	-۰/۰۰۱	۷/۰۰۰	۱۶/۳	۴۲-۰۶۳	۴۲-۰۶۳
۱۲/۵۰۰	۴۲-۰۷۵	-۰/۴۹۵	۳۲۳/۰۰۰	۴۴/۹۴۴	۱/۱۲۲	-۰/۷۳۷	۶/۰۰۰	-۰/۳۲۳	-۰/۲۴۳	-۰/۰۸۰	-۰/۰۰۱	۲۵/۲۵۰	۸/۸	۴۲-۰۶۵	۴۲-۰۶۵
۲/۵۰۰	۴۲-۰۷۵	-۰/۴۵۵	۸۱۳/۸۰۰	۲۴۰/۰۰۰	۱/۱۵۸	۱/۰۴۸	۲/۰۰۰	-۰/۹۰۴	-۰/۷۱۲	-۰/۱۹۲	-۰/۰۰۱	۵/۵۰۰	۲۸/۲	۴۲-۱۰۱	۴۲-۱۰۱
۳/۷۵۰	۴۲-۱۱۲	-۰/۵۰۰	۶۲۰/۴۰۰	۱۵۱/۷۲۴	۱/۱۵۴	۱/۰۷۱	۲/۰۰۰	-۰/۵۶۴	-۰/۴۳۱	-۰/۱۳۳	-۰/۰۰۱	۷/۵۰۰	۱۵/۵	۴۲-۱۱۲	۴۲-۱۱۲

### ادامه جدول ۱ - متغیرهای مستقل زیروحشی‌های منتخب

متغیر	کد ایستگاه	دیافراگم متوسط سالانه (mm)	درجه حرارت متوسط سالانه (°C)	تغییرهای اقلیمی برندگی متوسط سالانه	تغییرهای اقلیمی تغییر دمای زمین	تغییرهای اقلیمی تغییر دمای هوا	تغییرهای اقلیمی تغییر دمای آب	تغییرهای فیزیوگرافی دیافراگم متوسط سطح جوده (m)				
								کاربری اراضی (%)	کشاورزی	باغ	باغ	ارتفاع کوه (m)
۱۴۹۴/۴۸۰	۴۲-۰۰۱	۷/۰۰	۸۷/۹۱۱	۹۴/۸۲۰	۰/۰۰۱	۹۹/۰۰۰	۰/۰۰۱	۱/۰۰۰	۳۶۰/۰	۲۳۰/۰	۲۸۴۱/۰	۱۲۰۰/۰
۵۶۸/۶۶۰	۴۲-۰۰۳	۸/۴۵	۳۰/۸۲۲	۵۷/۵۲۰	۱۸/۳۰۰	۶۴/۱۰۰	۲/۰۰۰	۲/۰۰۰	۳۶۰/۰	۲۱۰/۰	۲۶۴۹/۰	۱۵۰۰/۰
۴۷۲/۶۱۰	۴۲-۰۰۵	۹/۰۰	۲۴/۸۷۴	۴۳/۸۲۰	۶۹/۸۰۰	۲۸/۰۰۰	۰/۰۰۱	۲/۱۹۰	۳۹۱۵/۰	۲۱۳۰/۰	۲۳۳۹/۰	۱۷۸۵/۰
۳۰۲/۲۳۰	۴۲-۰۰۷	۹/۲۰	۱۵/۷۴۶	۳۹/۴۰۰	۳۷/۵۰۰	۵۲/۰۰۰	۶/۹۰۰	۲/۰۰۰	۳۹۱۵/۰	۱۹۹۰/۰	۲۴۵/۰	۱۹۲۵/۰
۴۲۱/۴۳۰	۴۲-۰۰۹	۱۰/۱۱	۲۰/۹۵۶	۵۸/۸۳۰	۳۶/۶۰۰	۵۶/۵۰۰	۶/۰۰۰	۰/۰۰۱	۳۹۱۵/۰	۱۸۸۰/۰	۲۴۲۰/۰	۲۰۳۵/۰
۲۷۶/۴۲۰	۴۲-۰۲۹	۱۲/۵۰	۱۲/۲۸۵	۴۳/۱۶۰	۱/۰۰۱	۱۱/۰۰۰	۸۷/۸۰۰	۱/۰۰۰	۲۳۹۴/۰	۱۹۶۰/۰	۲۲۵۰/۰	۴۳۴/۰
۱۴۷۴/۱۰۰	۴۲-۰۳۵	۷/۵۰	۸۴/۲۳۴	۹۲/۵۶۰	۰/۰۰۱	۹۹/۵۰۰	۰/۰۰۱	۰/۰۰۰	۳۶۰/۰	۲۲۵۰/۰	۲۶۰۰/۰	۱۳۵۰/۰
۳۶۳/۹۳۰	۴۲-۰۳۹	۱۱/۰۰	۱۷/۲۳۰	۴۷/۲۴۰	۰/۰۰۱	۸۱/۰۰۰	۱۷/۵۰۰	۱/۰۰۰	۳۲۵۰/۰	۲۳۰۰/۰	۲۶۵۰/۰	۹۵۰/۰
۴۳۲/۲۹۰	۴۲-۰۴۷	۸/۶۳	۲۳/۲۰۹	۴۶/۰۶۰	۲۷/۰۰۰	۵۸/۰۰۰	۱۳/۲۰۰	۱/۰۰۰	۳۹۱۵/۰	۲۱۱۰/۰	۲۵۸۵/۰	۱۸۰۵/۰
۳۵۶/۱۸۰	۴۲-۰۶۱	۱۲/۲۵	۱۶/۰۰۸	۴۶/۲۳۰	۰/۰۰۱	۸۷/۰۰۰	۱۲/۱۰۰	۰/۰۰۰	۳۴۴۲/۰	۲۳۵۰/۰	۲۶۵۰/۰	۱۰۹۳/۰
۱۵۲/۴۳۰	۴۲-۰۶۳	۱۲/۵۰	۶/۷۷۵	۲۸/۳۶۰	۰/۰۰۱	۹۸/۰۰۰	۰/۰۰۲	۱/۰۰۰	۲۸۵۰/۰	۲۲۰۰/۰	۲۴۰۰/۰	۶۵۰/۰
۲۴۶/۲۶۰	۴۲-۰۶۵	۱۳/۵۰	۱۰/۴۷۹	۳۱/۹۷۰	۰/۰۰۱	۸۷/۰۰۰	۱۱/۷۰۰	۱/۰۰۰	۳۱۰۰/۰	۲۱۰۰/۰	۲۴۵۰/۰	۱۰۰۰/۰
۴۰۵/۱۱۰	۴۲-۱۰۱	۱۱/۲۵	۱۹/۰۶۴	۵۴/۸۷۰	۰/۰۰۱	۷۵/۰۰۰	۲۴/۳۰۰	۰/۰۰۰	۳۱۰۰/۰	۲۲۰۰/۰	۲۷۲۵/۰	۹۰۰/۰
۳۴۵/۳۰۰	۴۲-۱۱۲	۱۰/۰۰	۱۷/۲۶۵	۴۳/۰۸۰	۰/۰۰۱	۶۵/۰۰۰	۳۴/۱۰۰	۰/۰۰۰	۳۶۰/۰	۲۵۰۰/۰	۳۰۰۰/۰	۱۱۰۰/۰

### ادامه جدول ۱ - متغیرهای مستقل زیروحشی‌های منتخب

متغیر	کد ایستگاه	زمین شناسی	مقاومت به فرسایش سازندها	متغیرهای هیدرولوژی (m³/s)						
				دی متوسط سالانه	۴ دی متوسط سالانه	۵ دی متوسط سالانه	۶ دی متوسط سالانه	۷ دی متوسط سالانه	۸ دی متوسط سالانه	۹ دی متوسط سالانه
دبی حداقل لحظه‌ای با دوره بازگشت‌های مختلف (سال)										
۷/۴۰۰	۴۲-۰۰۱	۸/۸۵۰	۱۲/۷۰۰	۴/۵۶۹	۲۲/۲۰	۲۷/۱۰	۲۹/۶۰	۳۱/۸۰	۳۲/۴۰	۳۴/۱۰
۶/۱۰۰	۴۲-۰۰۳	۳۸/۳۱۰	۷/۰/۹۴۰	۱۲/۰۰۲	۳۱۹/۱۰	۴۹۵/۰۰	۶۱۱/۴۰	۷۲۲/۱۰	۷۵۸/۵۰۰	۸۶۷/۷۰
۲/۲۰۰	۴۲-۰۰۵	۳/۶۸۰	۶/۶۵۰	۴۵/۴۵۶	۲۷/۰۰	۸۳/۶۰	۱۶۰/۷۰	۲۸۵/۳۰	۳۳۹/۱۰۰	۵۶۴/۹۰
۵/۰۰۰	۴۲-۰۰۷	۳۴/۶۹۰	۲۰/۴۹۰	۲۲/۳۹۰	۱۲۴/۱۰	۱۵۲/۵۰	۱۷۱/۲۰	۱۸۹/۲۰	۱۹۵/۰۰	۲۱۲/۵۰
۵/۰۰۰	۴۲-۰۰۹	۵۱/۸۰۰	۵۹/۹۶۰	۲۷/۱۵۵	۱۰۹/۳۰	۱۴۳/۰۰	۱۶۹/۷۰	۱۹۸/۳۰	۲۰۸/۰۰	۲۳۹/۸۰
۴/۴۸۰	۴۲-۰۲۹	۱/۰۶۰	۱/۶۴۰	۰/۷۷۷	۳۱/۰۰	۶۰/۸۰	۸۴/۸۰	۱۱۱/۰۰	۱۱۹/۹۰	۱۴۹/۵۰
۷/۱۰۰	۴۲-۰۳۵	۱۱/۸۴۰	۱۹/۶۶۰	۲/۶۵۵	۰۹/۹۰	۷۱/۵۰	۷۷/۵۰	۸۲/۵۰	۸۳/۹۰	۸۸/۱۰
۱۰/۴۰۰	۴۲-۰۳۹	۰/۲۹۰	۰/۵۷۰	۰/۲۱۲	۱۷/۴۰	۳۵/۶۰	۴۸/۷۰	۶۱/۸۰	۶۵/۹۰	۷۹/۰۰
۵/۱۰۰	۴۲-۰۴۷	۰/۲۳۰	۰/۴۷۰	۰/۵۲۳	۴/۸۰	۱۴/۷۰	۲۳/۰۰	۳۴/۹۰	۴۴/۰۰	۵۴/۴۰
۵/۰۰۰	۴۲-۰۶۱	۰/۴۵۰	۰/۷۰۰	۰/۴۴۴	۲۱/۰۰	۳۲/۰۰	۳۷/۸۰	۴۲/۵۰	۴۳/۹۰	۴۷/۹۰
۲/۳۰۰	۴۲-۰۶۳	۰/۶۱۰	۱/۰۸۰	۱/۵۱۰	۱۸/۷۰	۳۵/۶۰	۴۷/۴۰	۵۹/۰۰	۶۲/۷۰	۷۴/۲۰
۸/۰۰۰	۴۲-۰۶۵	۱/۳۸۰	۲/۳۵۰	۱/۲۳۵	۴۱/۰۰	۹۱/۸۰	۱۳۴/۵۰	۱۸۰/۸۰	۱۹۶/۴۰	۲۴۷/۰۰
۵/۰۰۰	۴۲-۱۰۱	۰/۰۹۰	۰/۱۷۰	۰/۰۸۵	۱۴/۶۰	۴۵/۹۰	۷۷/۸۰	۱۰۱/۶۰	۱۱۱/۳۰	۱۴۲/۲۰
۵/۴۰۰	۴۲-۱۱۲	۰/۰۷۰	۰/۱۹۰	۰/۰۰۱	۱/۱۰	۲/۵۰	۴/۵۰	۷/۴۰	۸/۷۰	۱۳/۶۰

جدول ۲ - معادلات مربوط به منحنی های سنجه رسوب ایستگاه های مورد مطالعه

R <sup>2</sup>	معادله منحنی سنجه رسوب	کد ایستگاه	نام ایستگاه
0/55	$Q_S = 2/1515 Q_W^{1/213}$	۴۲-۰۰۱	چهلگرد
0/76	$Q_S = 0/7265 Q_W^{1/859}$	۴۲-۰۰۳	قله شاهرخ
0/89	$Q_S = 9/945 Q_W^{1/229}$	۴۲-۰۰۵	اسکندری
0/54	$Q_S = 4/10.2 Q_W^{1/55}$	۴۲-۰۰۷	سد زاینده رود (تنظیمی)
0/58	$Q_S = 0/414 Q_W^{1/882}$	۴۲-۰۰۹	پل زمانخان
0/71	$Q_S = 1/0.84 Q_W^{1/365}$	۴۲-۰۲۹	بند پایین
0/72	$Q_S = 1/922 Q_W^{1/271}$	۴۲-۰۳۵	تونل دوم (دره در)
0/72	$Q_S = 7/533 Q_W^{1/275}$	۴۲-۰۳۹	مدوار
0/88	$Q_S = 2/10.83 Q_W^{1/281}$	۴۲-۰۴۷	مندرجان
0/78	$Q_S = 12/0.55 Q_W^{1/382}$	۴۲-۰۶۱	آبدرمیان
0/84	$Q_S = 22/0.96 Q_W^{1/444}$	۴۲-۰۶۳	رمرز
0/92	$Q_S = 18/721 Q_W^{1/525}$	۴۲-۰۶۵	سوج
0/89	$Q_S = 14/449 Q_W^{1/927}$	۴۲-۱۰۱	کرخنگان
0/83	$Q_S = 12/617 Q_W^{1/436}$	۴۲-۱۱۲	نیر پشتکوه

در معادلات فوق  $Q_w$  دبی آب به  $m^3/s$  و  $Q_s$  دبی میانگین رسوب معلق روزانه به  $ton/day$  می باشد.

جدول ۳ - فاکتورهای اصلی استخراجی در تجزیه و تحلیل عاملی در دو حالت مختلف

حالت اول : انتخاب یک نماینده در هر محور									
۹	۸	۷	۶	۵	۴	۳	۲	۱	
مول ایزابه اصلی به طول خود	ارتباط متوسط از زمین	زمان شناختی	نمود درصد ازاضی کشاورزی	نمود درصد ازاضی کشاورزی	نمود برای یک سال	نمود با همواری	نمود با همواری	نمود با رواده در ۲۴ ساعته	مول ایزابه اصلی به طول خود
حالت دوم : انتخاب چند نماینده در هر محور									
۹	۸	۷	۶	۵	۴	۳	۲	۱	
مول ایزابه اصلی به طول خود	ارتباط متوسط از زمین	زمان شناختی	نمود درصد ازاضی کشاورزی	نمود درصد ازاضی کشاورزی	نمود برای یک سال	نمود با همواری	نمود با همواری	نمود با رواده در ۲۴ ساعته	مول ایزابه اصلی به طول خود

جدول ۴ - نتایج تحلیل خوشه ای در سه حالت مختلف (کدهای ایستگاه رسوب سنجی نشان دهنده زیروحشها می باشند)

بدون انجام تجزیه و تحلیل عاملی	منطقه همگن	روش برتر انتخاب شده: Ward											
		۱	۴۲-۰۰۳	۴۲-۰۰۵	۴۲-۰۰۷	۴۲-۰۰۹	۴۲-۰۴۷	۴۲-۰۶۱	۴۲-۰۶۳	۴۲-۰۶۵	۴۲-۱۰۱	۴۲-۱۱۲	
انجام تجزیه و تحلیل عاملی و انتخاب یک نماینده در هر محور	منطقه همگن	۱	۴۲-۰۰۳	۴۲-۰۰۵	۴۲-۰۰۷	۴۲-۰۰۹	۴۲-۰۲۹	۴۲-۰۴۷	۴۲-۰۶۱	۴۲-۰۶۳	۴۲-۰۶۵	۴۲-۱۰۱	۴۲-۱۱۲
		۲	۴۲-۰۰۱	۴۲-۰۲۹	۴۲-۰۳۵	۴۲-۰۳۹	۴۲-۰۴۷	۴۲-۰۶۱	۴۲-۰۶۳	۴۲-۰۶۵	۴۲-۱۰۱	۴۲-۱۱۲	
بدون انجام تجزیه و تحلیل عاملی و انتخاب چند نماینده در هر محور	منطقه همگن	۱	۴۲-۰۰۳	۴۲-۰۰۵	۴۲-۰۰۷	۴۲-۰۰۹	۴۲-۰۲۹	۴۲-۰۴۷	۴۲-۰۶۱	۴۲-۰۶۳	۴۲-۰۶۵	۴۲-۱۰۱	۴۲-۱۱۲
		۲	۴۲-۰۰۱	۴۲-۰۲۹	۴۲-۰۳۵	۴۲-۰۳۹	۴۲-۰۴۷	۴۲-۰۶۱	۴۲-۰۶۳	۴۲-۰۶۵	۴۲-۱۰۱	۴۲-۱۱۲	

## جدول ۵- تجزیه و تحلیل توابع متمایز کننده مربوط به تحلیل خوش‌های

مسیر تحلیل خوش‌های نتایج	بدون انجام تجزیه و تحلیل عاملی	با انجام تجزیه و تحلیل عاملی و انتخاب یک نماینده در هر محور	با انجام تجزیه و تحلیل عاملی و انتخاب چند نماینده در هر محور
تابع متمایز کننده	۱	۱	۱
ریشه پنهان ماتریس همبستگی	۴۱۰۴/۸۹۱	۸۲/۹۲۳	۱۰۶۲/۶۷۵
درصد توضیح واریانس	۱۰۰/۰۰۰	۱۰۰/۰۰۰	۱۰۰/۰۰۰
همبستگی کانونیک	۰/۹۹	۰/۹۹۴	۰/۹۹
Wilk 's Lambda	۰/۰۰۰	۰/۰۱۲	۰/۰۰۱
Chi-Square	۶۶/۵۶۱	۳۳/۲۲۴	۴۱/۸۱۷
درجه آزادی	۸	۹	۱۲

## جدول ۶- مدل‌های وایازی بدست آمده از روش‌های مختلف

روش برتر انجام وایازی چند متغیره	R <sup>۲</sup>	مدل	شماره مدل
پسرو، حذفی، ورود تمام متغیرها	۰/۹۹	$Y = -0.465x_1 + 6.002x_7 - 345.038x_8 - 0.13x_{10} - 208.936x_{18} - 7.275x_{19} + 21.339x_{28} + 12.615x_{32} + 4.392x_{37} + 0.569x_{42} - 81.247x_{44} + 951.376x_{47} - 3148.932x_{49} - 386.873$	۴
پسرو	۰/۹۰	$Y = 4.456x_{16} + 3.53x_{39} - 10.465x_5 - 38.656x_{32} + 33.226$	۵
پسرو، حذفی، ورود تمام متغیرها	۰/۹۹	$Y = -10.157x_{16} - 5.630x_4 - 1.952x_{46} + 0.692x_{39} - 4.929x_5 - 10.159x_6 + 39.083x_{32} + 0.721x_9 + 1001.485x_{47} + 30.926x_{34} + 31.808x_{28} - 27.774x_{15} - 2.587x_{17} - 1568.913$	۶
پسرو، حذفی، ورود تمام متغیرها	۰/۹۹	$Y = 8.145x_1 - 44.382x_8 + 132770.22x_{49} - 5355.806$	۷
پسرو، حذفی، ورود تمام متغیرها	۰/۹۹	$Y = 4.328x_5 + 2.945x_7 - 0.204x_9 - 135.952x_{18} + 2062.132x_{26} - 8.702x_{32} + 0.397x_{40} - 4.119x_{44} - 322.407x_{49} + 763.497$	۸
پسرو، حذفی، ورود تمام متغیرها	۰/۹۹	$Y = 8.132x_9 - 9.848x_{46} + 6648.086x_{47} - 24750.563$	۹
پسرو، حذفی، ورود تمام متغیرها	۰/۹۹	$Y = 2.655x_5 - 3.697x_6 - 0.19x_9 - 3.987x_{16} + 4.202x_{17} + 10.371x_{32} - 4.404x_{34} - 0.408x_{46} - 139.733x_{47} + 1122.487$	۱۰
پسرو، حذفی، ورود تمام متغیرها	۰/۹۹	$Y = 188.937x_{32} + 3.453x_{39} - 3.919x_{46} + 4764.936x_{47} - 5996.599$	۱۱
پسرو، حذفی، ورود تمام متغیرها	۰/۹۹	$Y = -0.311x_4 + 7.952x_5 - 5.534x_6 - 4.714x_{16} - 6.504x_{32} + 1.808x_{39} - 0.559x_{46} + 428.484x_{47} + 318.953$	۱۲

Y: میانگین رسواب معلق روزانه، X<sub>۱</sub>: بارندگی متوسط سالانه، X<sub>۴</sub>: حداکثر بارندگی متوسط سالانه، X<sub>۵</sub>: درصد اراضی کشاورزی، X<sub>۶</sub>: طول آبراهه اصلی، X<sub>۷</sub>: درصد اراضی جنگلی، X<sub>۸</sub>: درصد سایر کاربری‌ها، X<sub>۹</sub>: ارتفاع متوسط حوضه، X<sub>۱۰</sub>: درصد شیب متوسط حوضه، X<sub>۱۱</sub>: طول آبراهه اصلی، X<sub>۱۷</sub>: درصد شیب آبراهه اصلی، X<sub>۱۸</sub>: ضریب گراویویس، X<sub>۱۹</sub>: طول حوضه، X<sub>۲۴</sub>: تراکم زهکشی آبراهه درجه ۳، X<sub>۲۸</sub>: درصد اراضی با جهت جنوبی، X<sub>۲۹</sub>: نمره زمین شناسی، X<sub>۳۴</sub>: دبی متوسط ۴ ماهه اسفند تا خرداد، X<sub>۳۷</sub>: دبی پیک با دوره بازگشت ۵ سال، X<sub>۳۹</sub>: دبی پیک با دوره بازگشت ۲۰ سال، X<sub>۴۰</sub>: دبی پیک با دوره بازگشت ۲۵ سال، X<sub>۴۲</sub>: دبی پیک با دوره بازگشت ۱۰۰ سال، X<sub>۴۴</sub>: ضریب پیچان رودی، X<sub>۴۷</sub>: نمره ناهمواری، X<sub>۴۹</sub>: فراوانی آبراهه

جدول ۷- مدل‌های وایازی بدست آمده از روش‌های مختلف

شاخص‌های محاسبه خطای تخمین مدل‌ها				شاخص‌های محاسبه خطای تخمین مدل‌ها				نوع مدل	مسیرهای مدل‌سازی طبق نمودار	کلی روش کار اجرایی	شماره مدل
C <sub>E</sub>	RMSE	RE(%)	واریانس خطای	R <sup>2</sup>	C <sub>E</sub>	RMSE	RE(%)	واریانس خطای			
۰/۲۱	۶۹۶/۳۵	۱۲۳۰۴/۵۸	۲۰۸۸۱۸۶۰۱۱	۰/۹۹	۰/۹۹	۰/۴۷	۹/۷۸	۷۰۷/۹۴	۱۳	بدون انجام تجزیه و تحلیل عاملی - بدون خوشه‌بندی	۴
۰/۵۸	۵۰۴/۶۲	۲۵۴۶/۹۷	۸۱۴۸۲۸۵۴	۰/۹۰	۰/۹۳	۱۷۷/۲۶	۵۹۰/۱۲	۳۷۷۶۲۳۰	۴	انجام تجزیه و تحلیل عاملی و یک نماینده در هر محور- بدون خوشه‌بندی	۵
۰/۹۴	۱۸۶/۹۱	۲۶۸/۵۲	۷۴۹۷۶۹/۱۵	۰/۹۹	۰/۹۹	۱۹/۵۸	۱۴/۴۳	۱۳۴۵/۹۰	۱۳	انجام تجزیه و تحلیل عاملی و چند نماینده در هر محور- بدون خوشه‌بندی	۶
۰/۹۵۸	۲۴۳/۴۴	۲۵/۹۰	۵۸۹/۲۷	۰/۹۹	۰/۹۹	۰/۱۵	۰/۰۳	۰/۰۰	۳	منطقه همگن ۱ انجام تجزیه و تحلیل عاملی	۷
۰/۹۷	۲۷/۰۲	۴۸۴/۷۴	۲۱۵۶۵۶۵	۰/۹۹	۰/۹۹	۰/۹۲	۲۳/۷۷	۹۹۵/۵۸	۹	منطقه همگن ۲ با خوشه‌بندی	۸
۰/۹۶	۲۴۳/۶۸	۲۵/۵۸	۵۷۴/۷۸	۰/۹۹	۰/۹۹	۰/۹۶	۰/۲۲	۰/۰۵	۳	منطقه همگن ۱ انجام تجزیه و تحلیل عاملی	۹
۰/۹۶	۲۸/۴۴	۳۷/۳۱	۳۳۷۷۳/۸۱	۰/۹۹	۰/۹۹	۰/۶۶	۱۵/۲۸	۹۸۵/۴۳۴	۹	منطقه همگن ۲ با خوشه‌بندی	۱۰
۰/۹۶	۲۲۱/۰۸	۲۴/۰۸	۶۹۳/۰۴	۰/۹۹	۰/۹۹	۰/۱۵	۰/۰۲	۰/۰۰	۴	منطقه همگن ۱ انجام تجزیه و تحلیل عاملی	۱۱
۰/۷۱	۵۰/۹۸	۹۳۶/۸۰	۷۲۳۸۶۴۱	۰/۹۹	۰/۹۹	۰/۲۲	۵/۶۲	۱۳۴/۸۸	۸	منطقه همگن ۲ با خوشه‌بندی	۱۲

جدول ۸- بهترین مدل‌های منتخب وایازی برآورد میانگین رسوب معلق روزانه با توجه به شاخص‌های مقایسه

شاخص‌های محاسبه خطای تخمین مدل‌ها				شاخص‌های محاسبه خطای تخمین مدل‌ها				نوع مدل	مسیرهای مدل‌سازی طبق نمودار	کلی روش کار اجرایی	شماره مدل
C <sub>E</sub>	RMSE	RE(%)	واریانس خطای	R <sup>2</sup>	C <sub>E</sub>	RMSE	RE(%)	واریانس خطای			
۰/۲۱	۶۹۶/۳۵	۱۲۳۰۴/۵۸	۲۰۸۸۱۸۶۰۱۱	۰/۹۹	۰/۹۹	۰/۴۷	۹/۷۸	۷۰۷/۹۳۵	۱	بدون انجام تجزیه و تحلیل عاملی - بدون خوشه‌بندی	۴
۰/۹۶	۲۲۱/۰۸	۲۴/۰۸	۶۹۳/۰۴	۰/۹۹	۰/۹۹	۰/۱۵	۰/۰۲	۰/۰۰	۴	با انجام تجزیه و تحلیل منطقه همگن ۱	۱۱
۰/۷۱	۵۰/۹۸	۹۳۶/۸۰	۷۲۳۸۶۴۱	۰/۹۹	۰/۹۹	۰/۲۲	۵/۶۲	۱۳۴/۸۷۶	۸	منطقه همگن ۲ علمی و یک نماینده در هر محور- انجام خوشه‌بندی	۱۲

جدول ۹- مدل‌های نهایی پذیرفته شده به همراه معرفی پارامترهای موجود

شماره مدل	مدل	دامنه کاربرد
۴	$Y = -0.465X_1 + 6.00X_7 - 345.038X_8 - 0.13X_{10} - 208.936X_{18} - 7.275X_{19} + 21.339X_{28} + 12.615X_{32} + 4.392X_{37} + 0.569X_{42} - 81.247X_{44} + 951.376X_{24} - 3148.932X_{49} - 386.873$	کل زیرحوضه‌ها
۱۱	$Y = 188.937X_{32} + 3.453X_{39} - 3.919X_{46} + 4764.936X_{24} - 5996.599$	منطقه همگن ۱
۱۲	$Y = -0.311X_4 + 7.952X_5 - 5.534X_6 - 4.714X_{16} - 6.504X_{32} + 1.808X_{39} - 0.559X_{46} + 428.484X_{24} + 318.953$	منطقه همگن ۲
۷	Y: میانگین رسوب معلق روزانه، X <sub>۱</sub> : بارندگی متوسط سالانه، X <sub>۴</sub> : حدکتر بارندگی ۲۴ ساعته با دوره بازگشت ۲ سال، X <sub>۵</sub> : درصد اراضی کشاورزی، X <sub>۶</sub> : درصد اراضی اراضی جنگلی، X <sub>۷</sub> : درصد سایر کاربری‌ها، X <sub>۸</sub> : ارتفاع حداقل حوضه، X <sub>۹</sub> : طول آبراهه اصلی، X <sub>۱۰</sub> : ضریب گراویلوس، X <sub>۱۸</sub> : طول حوضه، X <sub>۱۹</sub> : تراکم زهکشی آبراهه درجه ۱، X <sub>۲۱</sub> : درصد اراضی با جهت جنوبی، X <sub>۲۲</sub> : نمره زمین شناسی، X <sub>۲۷</sub> : دبی پیک با دوره بازگشت ۵ سال، X <sub>۳۹</sub> : دبی پیک با دوره بازگشت ۲۰ سال، X <sub>۴۴</sub> : دبی پیک با دوره بازگشت ۱۰۰ سال، X <sub>۴۶</sub> : ضریب پیچان رودی، X <sub>۴۹</sub> : نمره ناهمواری، X <sub>۵۹</sub> : فراوانی آبراهه	منطقه همگن ۱

#### ۴- بحث و جمع بندی

است. همچنین با استفاده از مدل‌های نهایی انتخاب شده برای هر منطقه همگن می‌توان به تعیین عوامل مؤثر در تولید رسوبروزانه زیرحوضه‌ها دست یافت و بر این اساس اقدام به اتخاذ تصمیمات اجرایی و مدیریتی مناسب نمود. یافته‌های مذبور با روند تحقیقاتی مورد استفاده توسط تلویری (۱۳۸۱) در تهیه مدل‌های خطی و نمایی برای زیرحوضه‌های رودخانه کرخه و برخی از زیرحوضه‌های رودخانه در صورت کلی و برای مناطق همگن مطابقت دارد. جدول ۱۱ ضرایب استاندارد معادلات وایازی مربوط به مدل‌های شماره ۱۱ و ۱۲ را نشان می‌دهد. همانطور که در جدول مذکور ملاحظه می‌شود و با کمک گرفتن از جداول قبلی می‌توان گفت در زیرحوضه‌های با کد ۴۲-۰۰۵، ۴۲-۰۰۷، ۴۲-۰۰۹، ۴۲-۰۰۰۹ و ۴۲-۰۲۹ واقع در منطقه همگن ۱ عامل هیدرولوژیکی دبی پیک با دوره بازگشت ۲۰ سال و عامل فیزیوگرافی نسبت طول آبراهه اصلی به طول حوضه، به ترتیب مهمترین عوامل موثر در رسوب‌ایابی می‌باشند. در این مورد می‌توان به تأثیر دبی اوج بر مقدار تولید رسوبر (Das, 2000) و نقش موثر عوامل انسانی بر دبی‌های با دوره بازگشت کم (Singh, 1992) و همچنین تأثیر نسبت طول آبراهه اصلی در روند انتقال رسوبر مهرسروش (۱۳۷۵) و تلویری (۱۳۸۱) در توانایی مساحت، طول، محیط حوضه و ضریب شکل گراولیوس در برآورد رسوبر ماهانه حوضه‌های مورد بررسی همخوانی کامل ندارد. در زیرحوضه‌های ۴۲-۰۰۱-۰۶۵، ۴۲-۰۳۵، ۴۲-۰۴۷، ۴۲-۰۴۹، ۴۲-۰۶۳، ۴۲-۰۶۱ و ۴۲-۰۱۰-۱۱۲ واقع در منطقه همگن ۲ به ترتیب عامل فیزیوگرافی نمره ناهمواری، عامل هیدرولوژیکی دبی پیک با دوره بازگشت ۲۰ سال و عامل کاربری درصد اراضی مرتعی دارای بیشترین تأثیر در تولید رسوبر می‌باشند که تا حدودی با نظر صادقی و همکاران (۱۳۸۴(الف)) در رابطه با ارتباط کاربری اراضی با فرسایش خاک در زیرحوزه مندیریجان (ایستگاه ۴۲-۰۴۷) در حوزه آبخیز سد زاینده‌رود مطابقت دارد. عدم تغییرپذیری زیاد مساحت و همچنین وجود اطلاعات تفضیلی دقیق‌تر از خصوصیات فیزیوگرافی حوضه‌های مورد مطالعه در هر یک از مناطق همگن را می‌توان به عنوان دلیلی بر عدم حضور عامل مساحت در روابط نهایی به حساب آورد. از طرفی دامنه زیاد تغییر در نمره ناهمواری، تنوع وسعت مراتع در مقایسه با سایر کاربری‌ها (جدول ۱) و همچنین نقش موثر عوامل انسانی بر دبی‌های با دوره بازگشت کم (Singh, 1992) از دلایل اصلی دستیابی به این نتیجه می‌باشد. در ایستگاه‌های واقع در این منطقه همگن عوامل فیزیوگرافی طول آبراهه اصلی و نسبت طول آبراهه اصلی به طول حوضه دارای اهمیت نسبی تقریباً یکسان و در نهایت نمره زمین شناسی به دلیل عدم تغییرات زیاد در گستره منطقه مذکور و به رغم نظرات تلویری (۱۳۸۱) در برآورد رسوبر ماهانه دارای کمترین ارزش در تعیین میزان تولید رسوبر روزانه منطقه می‌باشد.

در این تحقیق به ترتیب ۱۰، ۴، ۳ و ۱ متغیر مستقل فیزیوگرافی، کاربری اراضی، اقلیمی، هیدرولوژیکی و زمین شناسی به منظور تخمین متغیر وابسته میانگین رسوبر معلق روزانه استفاده شد. کثیر وتنوع چنین پارامترهایی تاکنون در هیچ یک از کارهای انجام شده در این مورد دیده نمی‌شود. چنانکه عرب خدری و زرگر (۱۳۷۴) ویژگی، حکیم خانی (۱۳۷۷) ویژگی، رستمی و همکاران (۱۳۸۱) ۲۰ ویژگی و وفاخواه (۱۳۸۱) ۱۴ ویژگی را به عنوان متغیرهای مستقل مدنظر قرار داده‌اند. در برخی از مطالعات نیز صرفاً به بررسی ارتباط تغییر تولید رسوبر با تهای یک یا دو متغیر (Walling, 2006) Mahmoudzadeh (1996) پرداخته شده است. در این میان تنها ۵۷ میانگین مؤثر در پتانسیل تولید رسوبر را مدنظر قرار داده است. متغیرهایی نظیر کاربری اراضی و نمره ناهمواری در کمتر کار تحقیقاتی در نظر گرفته شده‌اند. برای محاسبه متغیر وابسته نیز از نرم‌افزار ROSOOB و منحنی‌های سنجه رسوبر با معادلات توانی استفاده شده است. شکل توانی معادله سنجه رسوبر استفاده شده در این تحقیق در منابع مطالعاتی دیگر نظیر Linsley and Franzini (1979) و میرزایی و همکاران (۱۳۸۱) نیز به عنوان متدالوگی رابطه مدنظر قرار گرفته است.

نتایج بدست آمده از تحلیل تشخیص نشان می‌دهد که سطح اطمینان گروه بندی مناطق همگن موجود بیش از ۹۹ درصد بوده و هر سه نوع خوشه بندی انجام شده از نظر آماری معنی‌دار است. همانطور که جدول ۶ نشان می‌دهد روش‌های مناسب انجام وایازی شامل پسرو، حذفی و روش ورود تمام متغیرها می‌باشد. غیاثی و همکاران (۱۳۸۱) در مطالعه نقش ویژگی‌های هندسی آبخیزها بر سیل‌های حداکثر با دوره بازگشت‌های مختلف و همچنین صادقی و همکاران (۱۳۸۴(ب)) در مدل‌سازی بارش-رواناب حوضه کسیلیان به ترتیب روش پسرو و روش گام به گام و پسرو را بهترین روش برای تهیه مدل‌های وایازی معرفی نموده‌اند. در جای دیگر وفاخواه (۱۳۷۹) جهت ارائه مدل‌های مناسب وایازی تجزیه و تحلیل ناحیه‌ای رسوبر روش گام به گام را به کار گرفت. دقت در خطای بدست آمده از کاربرد مدل‌های نهایی (جدول ۹) در جدول ۱۰ نشان می‌دهد که مدل ۴ برای هیچ یک از زیرحوضه‌ها مناسب نمی‌باشد. حال آنکه حداکثر خطای نسبی کاربرد مدل‌های ۱۱ و ۱۲ در هر یک از مناطق همگن اختصاص داده شده ۳۵/۱۹ و میانگین خطای مربوطه زیر ۱۰ درصد بوده که در هر دو صورت کمتر از حد قابل قبول خطای در مدل‌سازی فرآیندهای طبیعی (Das, 2000) و صادقی و همکاران، (۱۳۸۴(ب)) بوده و کاربرد آنها در مناطق مذکور از دقت کافی برخوردار

تولید رسوب و اهمیت آنها در انجام بهترین اقدامات مدیریتی از دیگر یافته‌های این تحقیق است. همچنین انجام تحقیقات مشابه در سایر حوضه‌های کشور و ارزیابی نقش سایر پارامترهای دخیل در تولید رسوب به منظور جمع‌بندی نهایی در تهیه مدل‌های ریاضی منطقه‌ای از پیشنهادهای منتج از بررسی موجود می‌باشد.

با توجه به نتایج بدست آمده از تحقیق حاضر می‌توان جمع‌بندی نمود که انتخاب پارامترهای مستقل بیشتر زمینه‌های ارزیابی اهمیت آنها در تولید رسوب را فراهم نموده، اگرچه در نهایت به تعداد محدودی پارامتر دست یافته شود. افزایش دقت تهیه مدل رسوب به واسطه همگن بندی مناطق و دستیابی به پارامترهای مهمتر و مؤثرتر در

**جدول ۱۰ - برآورد مقایسه‌ای میانگین تولید رسوب معلق روزانه در زیرحوضه‌های مورد مطالعه با استفاده از مدل‌های منتخب**

کد ایستگاه	رسوب مشاهده ای (ton/day)	مدل شماره ۴ (برای کل زیرحوضه‌ها)	مدل شماره ۱۱ (برای منطقه همگن ۱)	مدل شماره ۱۲ (برای منطقه همگن ۲)	مقدار خطا (٪) نسبی (ton/day)	رسوب برآورده (ton/day)
۴۲-۰۰۱	45/90	45/71	2639/31	45/90	-	0/01
۴۲-۰۰۳	2639/00	2639/18	387/91	2639/00	0/01	0/03
۴۲-۰۰۵	387/80	387/70	182/15	387/80	0/03	0/03
۴۲-۰۰۷	182/10	181/71	997/56	182/10	0/21	0/01
۴۲-۰۰۹	997/50	997/22	425/55	997/50	0/12	0/01
۴۲-۰۲۹	425/50	424/98	-	425/50	-	-
۴۲-۰۳۵	68/10	67/99	-	68/10	-	68/17
۴۲-۰۳۹	4/89	4/26	-	4/89	-	5/10
۴۲-۰۴۷	166/50	165/95	-	166/50	-	166/72
۴۲-۰۶۱	23/10	22/43	-	23/10	-	23/22
۴۲-۰۶۳	200/60	199/91	-	200/60	-	200/58
۴۲-۰۶۵	115/30	114/83	-	115/30	-	115/37
۴۲-۱۰۱	2/80	2/27	-	2/80	-	3/09
۴۲-۱۱۲	0/64	0/00	-	0/64	-	0/86
			100/00			35/19

**جدول ۱۱ - ضرایب استاندارد متغیرهای موجود در معادلات وایازی مربوط به مدل‌های نهایی**

ضرایب استاندارد(Beta)	متغیر	شماره مدل
۰/۲۷۲	نمره زمین شناسی	۱۱
۰/۸۳۸	دبی پیک با دوره بازگشت ۲۰ سال	
-۰/۵۰۹	نمره ناهمواری	
۰/۵۱۰	نسبت طول آبراهه اصلی به طول حوضه	
-۰/۱	حداکثر بارندگی ۲۴ ساعته با دوره بازگشت ۲ سال	۱۲
۰/۹۵۷	درصد اراضی کشاورزی	
-۱/۱۱۸	درصد اراضی مرتعی	
-۰/۵۷۷	طول آبراهه اصلی	
-۰/۲۰۴	نمره زمین شناسی	
۱/۲۴۱	دبی پیک با دوره بازگشت ۲۰ سال	
-۱/۸۸۵	نمره ناهمواری	
۰/۸۶۶	نسبت طول آبراهه اصلی به طول حوضه	

صادقی، س. ح. ر، شجاعی، غ. ر. و مرادی، ح. ر. (۱۳۸۴). ارتباط کاربری اراضی با فرسایش خاک در زیرحوزه مندیجان در حوزه آبخیز سد زاینده‌رود نشریه آب و آبخیز، ۱(۱۷-۲۳).

صادقی، س. ح. ر، مرادی، ح. ر، مzin، M. و وفاخواه، M. (۱۳۸۴). کارآمیز روش‌های مختلف تجزیه و تحلیل آماری در مدلسازی بارش-رواناب (مطالعه موردی: حوزه آبخیز کسیلیان)، مجله علوم کشاورزی و منابع طبیعی، ۹۰-۸۱(۳).

عرب‌حدری، م. (۱۳۸۲). وضعیت رسوب‌دهی معلق حوزه‌های آبخیز ایران، نشریه داخلی علمی و پژوهشی آبخیز، مرکز تحقیقات حفاظت خاک و آبخیزداری، ۱۱: ۴-۶.

عرب‌حدری، م. و زرگر، ا. (۱۳۷۴). برآورد تولید رسوب در بخش شمالی البرز با استفاده از مدل‌های رگرسیونی، مجله پژوهش و سازندگی، شماره ۲۹: ۲۲-۲۶.

غیاثی، ن.، غفاری، ع.، عرب‌حدری، م. و حاتمی، ح. (۱۳۸۱). مقایسه روشهای برآورد برخی از ویژگی‌های هندسی آبخیزها از نقطه نظر اثر آنها بر سیلهای حداکثر با دوره بازگشتهای مختلف، وزارت جهاد کشاورزی، سازمان تحقیقات و آموزش کشاورزی، پژوهشکده حفاظت خاک و آبخیزداری، گزارش نهایی طرح تحقیقاتی، ۷۰ ص.

فوتوحی اردکانی، ا. (۱۳۸۱). کتاب آموزشی SPSS.10 (ترجمه)، انتشارات شایگان، ۴۴۸ ص.

فریتفه، ج. (۱۳۷۰). تحلیلهای کمی در ژئومورفولوژی (ترجمه)، انتشارات دانشگاه تهران، ۳۶۸ ص.

فیض نیا، س. (۱۳۷۴). مقاومت سنجگها در مقابل فرسایش در اقالیم مختلف ایران، مجله منابع طبیعی ایران، شماره ۹۵: ۹۷-۱۱۶.

قدیمی عروس محله، ف. و امین سبحانی، ا. (۱۳۷۸). تعیین الگوی توزیع آماری رسوب معلق حوزه آبریز دریاچه نمک، پژوهش و سازندگی، شماره ۴۴: ۹۶-۹۹.

قنواتی، ع. (۱۳۷۸). مدلسازی هیدرولوژیک فلورولوژیک سیلاب و رسوب (نمونه موردی حوزه رودخانه‌های زهره و خیرآباد)، پایان نامه کارشناسی ارشد چگرفایی طبیعی، دانشگاه تربیت مدرس، دانشکده علوم انسانی، ۱۷۳ ص.

کارآموز، م. و عراقی‌نژاد، ش. (۱۳۸۴). هیدرولوژی پیشرفته، انتشارات دانشگاه صنعتی امیرکبیر، ۴۶۴ ص.

کریم خانی، ف. (۱۳۷۶). بررسی رفتارهای فرسایشی پادگانهای کوانترن در حوزه آبخیز طالقان، پایان نامه کارشناسی ارشد آبخیزداری، دانشگاه تربیت مدرس، دانشکده منابع طبیعی و علوم دریایی، ۱۸۹ ص.

## 1- Sediment Rating Curve

## 2- Regression

## 3-Multiple Regression

## 4-Kolmogorov-Smirnov

## 5-Factor Analysis

## 6- Clustering

## 7- Relative Error

## 8- Root Mean Square Error

## 9- Coefficient of Efficiency

## ۵- مراجع

امینی، ا. (۱۳۷۶). بررسی کارایی روشهای مختلف مدیریت در اراضی لسی آبخیز قره تیکان، مجله علوم کشاورزی و منابع طبیعی، ۱۰-۱۸(۲).

اسماعیلی، ن. و مهدوی، م. (۱۳۸۱). بررسی دبی مؤثر جهت انتقال رسوبات معلق در آبراهه‌های حوضه سد زاینده رود، مجله منابع طبیعی ایران، ۵۵: ۲۹۵-۳۰۴.

تلوری، ع. (۱۳۸۱). رابطه رسوب‌دهی معلق با برخی از ویژگی‌های آبخیز در سرشاخه‌های کرخه و دز در استان لرستان، پژوهش و سازندگی، ۵۶: ۵۶-۶۱.

حکیم خانی، ش. (۱۳۷۷). ارائه مدل رگرسیونی چند متغیره بر اساس عوامل موثر بر رسوب‌دهی معلق حوزه‌های آبخیز دریاچه ارومیه، پایان نامه کارشناسی ارشد آبخیزداری، دانشکده منابع طبیعی دانشگاه تهران، ۲۱۲ ص.

دادرسی، ا. (۱۳۷۹). بررسی نقش پوشش گیاهی، شب و مساحت حوزه در تولید رسوب (مطالعه موردی حوزه آبخیز فیله خاصه زنجان)، مجموعه مقالات دومین همایش ملی فرسایش و رسوب، دانشگاه لرستان، شهریور ۱۳۷۹: ۳۲۳-۳۲۴.

رسنمی، م.، اردشیر، ع.، ابریشم چی، ا.، مرادی، م. ح. و عرب‌حدری، م. (۱۳۸۱). پیش‌بینی رسوب معلق حوزه‌های فاقد آمار با مقایسه روشهای خوش بندی آماری و فازی، مجموعه مقالات ششمین سمینار بین‌المللی مهندسی رودخانه، دانشگاه شهید چمران اهواز، ۸ تا ۱۰ بهمن، ج اول، صفحات ۹ تا ۱۷.

زرگر، ا. (۱۳۸۰). راهنمای جامع ۱۰ SPSS، انتشارات بهینه، ۵۸۴ ص.

شرکت آمارپردازان (۱۳۷۷). راهنمای کاربران SPSS، جلد ۱ و ۲، مرکز فرهنگی انتشاراتی حامی، ۴۲۴ و ۵۳۳ ص.

- Arnold, J.G., Birch, M.D., Williams, J.R., Smith, W.F. and McGill, H.N. (1987). "Modeling the effects of urbanization on basin water yield and reservoir sedimentation", *Water Resources Bulletin*, 23(6), pp. 1101-1107.
- Bini, C., Gemignani, S. and Zilocchi, L. (2006). "Effect of different land use on soil erosion in the pre-alpine fringe (North-East Italy): Ion budget and sediment yield", *Sciences of the Total Environment*, 369(1-3), pp. 433-440.
- Chen, C.N., Tsai, C.H. and Tsai, C.T. (2006). "Simulation of sediment yield from watershed by physiographic soil erosion-deposition model", *Journal of Hydrology*, 327(3-4), pp. 293-303.
- Das, G. (2000). *Hydrology and soil conservation engineering*, Prentice-Hall of India Private Limited Pub., 489p.
- Hallsworth, E.G. (1987). *Anatomy, physiology and psychology of erosion*, John Wiley and Sons Pub., 176p.
- Linsley, R.K. and Franzini, J.B. (1979). *Water Resources Engineering*, McGraw Hill, 716p.
- Mahmoudzadeh, A. (1996). The use of farm dams to determine the effect of land use and lithology on catchment sediment yields, PhD Dissertation, Univ. of New South Wales, School of Geography, Australia, 254p.
- Narayana, V.V.D. (2002). *Soil and water conservation research in India*, Indian Council of Agricultural Research Pub., 454 p.
- Nearing, M.A. (1998). Why soil erosion models over-predict small soil losses and under-predict large soil losses, TEKTRAN: United States Department of Agriculture, Agricultural Research Service.
- Rashidi, D. (1997). Erosion assessment using remote sensing and geographical information system applied to Shahrchi catchment; West Azarbaijan Province; North West of Iran, MSc Thesis, International Institute for Aerospace Survey and Earth Sciences, Enschede, Netherlands, 60p.
- Restrepo, J.D., Kjerfve, B., Hermelin, M. and Restrepo, J.C. (2006). "Factors controlling sediment yield in a major South American drainage basin: the Magdalena River, Colombia", *Journal of Hydrology*, 316 (1-4), pp. 213-232.
- Rey, F. (2003). "Influence of vegetation distribution on sediment yield in forested marly gullies", *CATENA*, 50(2-4), pp. 549-562.
- Sadeghi, S.H.R. and Singh, J.K. (2001). "Prioritization of Sub-watersheds in Generation of Total Sediment Yield using Routing Model", *Proceedings 3rd International Conference on Land Degradation*, Sep. 17-21, Brazil, S3-006.
- مقدم، م. محمدی شوطی، س. ا. و آفای سربرزه، م. (۱۳۷۳). آشنایی با روش‌های آماری چندمتغیره (ترجمه)، انتشارات پیشناز علم، ۲۰۸ ص.
- مهدوی، م. (۱۳۷۸). هیدرولوژی کاربردی، جلد دوم، انتشارات دانشگاه تهران، ۱۴۰۱ ص.
- مهرسرشت، ب. (۱۳۷۵). تحلیل منطقه‌ای بار معلق در سرشاخه‌های رودخانه کرخه، پایان نامه کارشناسی ارشد خاکشناسی، دانشگاه آزاد اسلامی ( واحد علوم و تحقیقات)، ۹۳ ص.
- میرزای، مر.، عرب‌حدری، م.، فیض‌نیا، س. و احمدی، ح. (۱۳۸۴). مقایسه روش‌های آماری برآورد رسوب معلق رودخانه‌ها، مجله منابع طبیعی ایران، ۵۸ (۲): ۳۱۴-۳۰۱.
- نجفی، دع. (۱۳۸۲). اولویت بندی زیرحوزه‌های آبخیز اصفهان و سیرجان در تولید رسوب با استفاده از تجزیه و تحلیل منطقه‌ای، پایان نامه کارشناسی ارشد آبخیزداری، دانشگاه تربیت مدرس، دانشکده منابع طبیعی، ۷۵ ص.
- وروانی، ج. (۱۳۸۰). آنالیز ناحیه‌ای رسوب معلق در حوزه آبخیز گرگان‌رود و بررسی رسوب‌دهی سرشاخه‌های اصلی سد وشمگیر، پایان نامه کارشناسی ارشد آبخیزداری، دانشگاه تهران، دانشکده منابع طبیعی، ۲۰۳ ص.
- وزارت جهاد سازندگی (۱۳۷۵). مهندسین مشاور جامع ایران، نقشه کاربری اراضی حوزه آبخیز ابرقو-سیرجان.
- وزارت کشاورزی (۱۳۷۶). مهندسین مشاور یکم، مطالعات جامع احیاء و توسعه کشاورزی و منابع طبیعی حوزه‌های آبخیز زاینده رود و اردستان، جمع بندی مطالعات، معاونت برنامه و بودجه.
- وزارت نیرو (۱۳۶۸ الف). طرح جامع آب کشور، حوزه آبریز ابرقو-سیرجان، مهندسین مشاور جاماب.
- وزارت نیرو (۱۳۶۸ ب). طرح جامع آب کشور، حوزه آبریز زاینده رود، مهندسین مشاور جاماب.
- وزارت نیرو (۱۳۷۷). بولتن وضعیت منابع آب کشور، شماره ۱۶، سازمان تحقیقات منابع آب.
- وفا خواه، م. (۱۳۷۹). طرح تحقیقاتی تجزیه و تحلیل ناحیه‌ای رسوب در منطقه شمال (مازندران و گرگان)، دانشگاه تربیت مدرس، دانشکده منابع طبیعی و علوم دریایی، ۱۰۰ ص.
- وفا خواه، م. (۱۳۸۱). ارائه مدل ریاضی جهت برآورد رسوب در منطقه شمال (مازندران و گرگان)، مجموعه مقالات ششمین سمینار بین‌المللی مهندسی رودخانه، دانشگاه شهید چمران اهواز، ۸ الى ۱۰ بهمن، ج اول، صفحات ۱۴۷ تا ۱۵۹.

- Sediment Initiative Conference*, Nov. 12-15, Sudan, 13.
- Wheater, C.P. and Cook, P.A. (2000). *Using statistics to understand the environment*, Routledge pub., 245p.
- Singh, V.P. (1992). *Elementary Hydrology*, Prentic-Hall, India, 973 p.
- Suresh, R. (2000). *Soil and water conservation engineering*, A.K. Jain Pub., 951 p.
- Walling, D.E. (2006). "The changing sediment loads of the world's rivers", *Proceedings International*

تاریخ دریافت مقاله: ۵ بهمن ۱۳۸۲

تاریخ اصلاح مقاله: ۱ مهر ۱۳۸۵

تاریخ پذیرش مقاله: ۹ دی ۱۳۸۵